

九州大学工学部 正員 榎東一郎

〃 " 平野 宗大

" 大学院 学生員 ○渡辺 訓甫

1. 緒言

滑面水路流れにおいて固体粒子、あるいは砂礫を堆積せずに輸送しうる限界の流砂量については、石原¹⁾・岩垣²⁾、嶋ら³⁾、Pedroli³⁾などによつて詳細な実験が行なわれ、滑面開水路流れにおける流砂量は移動床流れの流砂量よりも一般に大きいこと、また、その差異は粒径の大きい程、勾配の緩やかの程著しいことが実験的に示されている。しかしながら、掃流形式によつて輸送される砂粒子の運動性状や輸送機構についての理論的な取り扱いは困難であつて、上述の実験結果を裏付ける理論的な説明は今のところ与えられていない現状である。そこで、我々は群をなして移動する砂粒と底面附近の流れとの干渉効果について新しいモデルを提案して、滑面水路における流砂量式を導き、既往の実験資料と比較して若干の考察を加えたものである。

2. 砂礫の運動機構

滑面水路の流砂量については、群をなす移動粒子と水路床附近の流れとの干渉効果が著しく、水路床近く傍の流れや粒子の移動速度などは単個粒子の場合とは異つてくることが予想される。この干渉効果について次のよき簡単なモデルを設ける。

水路上を単位面積あたり n 個の砂礫粒が移動していくときには、水路床に働く全抵抗 Pu_*^2 は砂粒のうけた抵抗 MF と乱れによる摩擦抵抗 Pu_*^2 とに分けられるものとする。従つて流れを便宜上 2 つの層に分け、近似的に掃流層 ($0 \leq y \leq d$) の流れは U_s' に規定され、掃流層外側 ($d \leq y \leq h$) の流れは U_s'' に規定されといふものとする。この考え方のとくに、河床における応力の平衡条件は

$$Pu_*^2 = MF + Pu_*'^2, \quad P: \text{水の密度}, \quad U_s': \text{摩擦速度} \quad (1)$$

ここで、抵抗 F は河床の動摩擦係数を μ' 、砂の密度を ρ_s として、 $F = \mu' (\rho_s - \rho) (\pi/6) d^3 g$ 、また、移動粒子密度を P とすれば $n = P / (\pi/4) d^2$ と表わされから、 s を砂の水中比重として

$$U_s'^2 = (2/3) \mu' s g d P + U_s'^2 \quad (2)$$

流速分布は、上述の考え方から、滑面水路において次式を仮定する。

$$0 \leq y \leq d \quad \frac{U}{U_s'} = A_s' + 5.75 \log_{10} \frac{U_s' y}{\nu} \quad (3)$$

$d \leq y \leq h$ では従来の分布式

$$\frac{U}{U_s'} = A_s + 5.75 \log_{10} \frac{U_s' y}{\nu} \quad (4)$$

ここに、 A_s, A_s' は定数、 ν は水の動粘性係数である。流速分布を $y=d$ で接続させ、式 (2), (3) から得られる関係式

$$U_s'/U_s' = \sqrt{1 - (2/3) \mu' (s g d / U_s'^2) P} \quad (5)$$

を用ひたり、 $y > d$ における流速分布は次式のようになる。

$$\frac{u}{u_*} = \left(A'_s + 5.75 \log_{10} \frac{u_* d}{\nu} \right) \sqrt{1 - \frac{2}{3} \mu' \frac{s g d}{u_*^2} P} + 5.75 \log_{10} \frac{y}{d} \quad (6)$$

y : ウで、平均流速を V 、水深を h とするとき、流速俠数 ψ は

$$\psi = \frac{V}{u_*} = \frac{1}{h} \int_0^h \frac{u}{u_*} dy = \frac{1}{h} \frac{u_*}{u_*} \int_0^h \left(A'_s + \frac{1}{\kappa} \log_e \frac{u_* y}{\nu} \right) dy + \frac{1}{h} \int_0^h \left(A + \frac{1}{\kappa} \log_e \frac{y}{d} \right) dy$$

ここで、 A は式(6)の第1項を置換表示したものである。上式の積分を計算して常用対数に直し、掃流力の無次元表示量 Ψ を用いれば

$$\Psi = \left(A'_s + 5.75 \log_{10} \frac{u_* d}{\nu} - 2.5 \frac{d}{h} \right) \sqrt{1 - \frac{2}{3} \mu' \frac{P}{\Psi^2}} - 2.5 \left(1 - \frac{d}{h} \right) + 5.75 \log_{10} \frac{h}{d} \quad (7)$$

従って、 P と Ψ との関係は次式で表わされる。

$$P = \frac{\rho}{2\mu'} \Psi \left[1 - \left\{ \frac{\Psi - 5.75 \log_{10}(h/d) + 2.5(1-d/h)}{A'_s + 5.75 \log_{10}(u_* d / \nu) - 2.5 d / h} \right\}^2 \right] \quad (8)$$

いま、砂粒の移動速度を u_g とするとき、単位時間、単位幅あたりの流砂量 q_B は次式で与えられる。

$$q_B = n \cdot u_g \cdot (\pi/6) d^3 \quad (9)$$

移動速度としては、著者らが導いた球が1個の場合の移動速度式において、球に働く揚力、およびマグナス効果を無視すれば簡単に $u_g/u = 1 - \sqrt{(4/3)(\mu'/C_D)(sgd/u^2)}$ と表わせる。従って、

$$\frac{q_B}{u_* d} = \frac{2}{3} P \Psi \left(1 - \sqrt{\frac{4}{3} \frac{\mu'}{C_D} \frac{sgd}{u^2}} \right), \quad \therefore \because \Psi = \frac{u}{u_*} = \frac{u}{u_*} \frac{u_*}{u_*} = \frac{u_*}{u_*} \left(A'_s + 5.75 \log_{10} \frac{u_* d}{\nu} \right)$$

さらに変形すると

$$\frac{q_B}{u_* d} = \frac{2}{3} P \sqrt{1 - \frac{2}{3} \mu' \frac{P}{\Psi^2}} \left\{ A'_s + 5.75 \log_{10} \left(\frac{u_* d}{\nu} \sqrt{1 - \frac{2}{3} \mu' \frac{P}{\Psi^2}} \right) \right\} \left\{ 1 - \sqrt{\frac{4}{3} \frac{\mu'}{C_D} \frac{1}{\Psi^2} \frac{1}{q_B^2}} \right\} \quad (10)$$

を得る。ここに、 $\Psi = u_*^2 / sgd$ 、 C_D は球の抵抗係数である。従って、 P と u_g または Ψ がわかれば式(5)、(8)より移動粒子密度 P が求まり、式(10)によって流砂量 q_B を計算することができる。

なお、流速俠数 Ψ は摩擦損失係数を f とすると $\Psi = \sqrt{1/f}$ で表わされ、Pedroli は摩擦損失係数の式として Colebrook の式

$$\frac{1}{f} = -2 \log_{10} \frac{d}{R_s} \left(\frac{1}{2} \frac{k_s}{d} + \frac{18.7}{\sqrt{f} \cdot 4.0 u_* / \nu} \right) \frac{1}{7.4} \quad (11)$$

を用い、相対粗度 k_s に対して次の実験式を提案している。

$$\frac{k_s}{d} = 0.444 \sqrt{\frac{r_s I}{r_s d}} ; \left(\frac{r_s I}{r_s d} \geq 0.02 \right), \quad \frac{k_s}{d} = 3.3 \left(\frac{r_s I}{r_s d} \right) ; \left(0 < \frac{r_s I}{r_s d} < 0.02 \right)$$

ここで、 R_s : 径深、 r_s より r_s : 水および砂の単位重量、 I : 損失水頭勾配である。

3. 計算結果と実測値との比較

水路床が砂粒で構成されている移動床水路においては、流砂量の強度 $= q_B / u_* d$ は掃流力の無次元表示量 $\Psi = u_*^2 / sgd$ の関数として表示され、Brown 公式、Einstein 公式、佐藤吉川・芦田公式などによく知られていく。既往の実験資料より Ψ と Ψ を求めてプロットすると図-1 のようになる。使用した資料の諸元は表-1 に示す。しかし滑面水路においては式(8)、(10)において $u_* d / \nu = \sqrt{\Psi \cdot sgd / \nu}$ 、 $d/h = \Psi \cdot s / I$

であるから、重は他の他に $\sqrt{g d^3} / \mu$ と S/I がパラメータに入ってくる。式(8), (10)を用いて計算した重と実測値とを比較したもののが図-2である。なお、流速係数 ψ は式(11), (12)を用い、さらに $A_s' = 5.5$, $\mu' = 0.3$, $C_D = 1.0$ にて計算した。

表-1 資料一覧表

△	試料	水中比重	粒 径 d	勾 配 I
石原ら	砂	1.65	0.13, 0.0885, 0.052, 0.028, 0.019	0.002, 0.005, 0.01, 0.0333
島ら	砂	1.65	0.2395, 0.0838, 0.0536	0.02, 0.01, 0.005, 0.0025
Pedroli	砂	1.70	1.11, 0.89, 0.85, 0.52, 0.26	0.00104, 0.005, 0.0075, 0.01
早田	スケール	4.49	0.7, 0.23, 0.046	0.0025, 0.0333

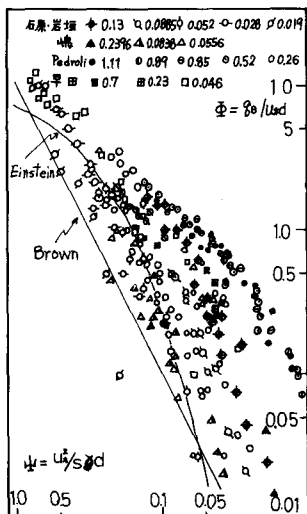


図-1 重と比重の関係

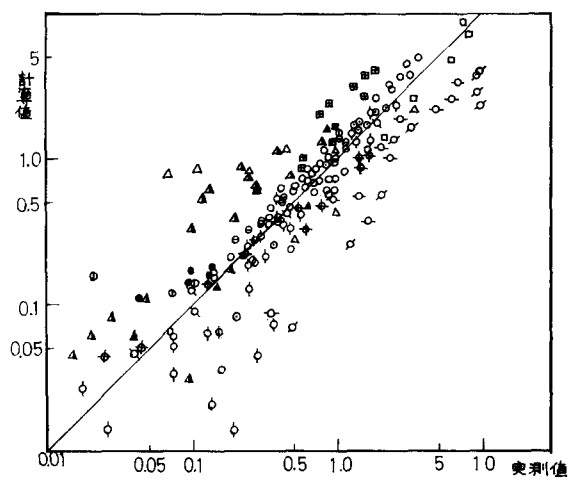


図-2 実測値と計算値との比較

計算結果は図-2に示すように、実測値と計算値とは図の左下方の数箇を除けばかなり一致している。図-2にあらわれているばらつきに影響を与えるパラメーターとしては、相対粗度 k_s 、動摩擦係数 μ 、抵抗係数 C_D があげられるが、限界挾流力の近くでは、式(10)から明らかのように、この μ' と C_D の誤差の影響が重って強く効いてくる。図の左下の部分で特にばらつきが大きくなっているのは、このためであると思われる。動摩擦係数 μ については式(8), (10)から明らかなように、 $\eta_B / U_* d$ は動摩擦係数 μ に直接逆比例しているから、実測値と計算値との関係を図上で平行移動させる作用を持つ。例えば、石原らの場合についてみてみると、実測値に比べて計算値の方が全体的にやや小さくなっている。ここで計算に用いた $\mu' = 0.3$ が実際にはもっと小さい値であることが予想される。相対粗度 k_s は Pedroli の実験式を用いて計算したが、これを石原ら他の場合に用いたのは問題があつたし、相対粗度がばらつきを生ずる影響度もよくわからないので以下に検討してみた。図-3は Pedroli の実験式で計算した相対粗度 k_{s0} を基準として、

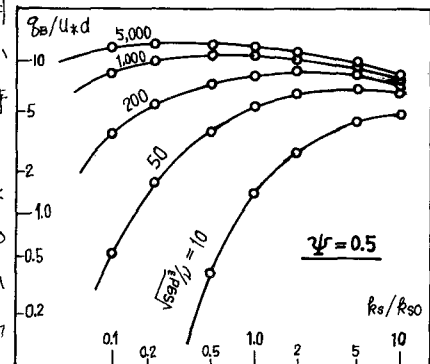


図-3 相対粗度の影響

相対粗度 k_s を k_{s0} の 0.1 ～ 10 倍とした場合の流砂量の変化を $\sqrt{gk_s d^3}/U$ をパラメーターとして描いた計算曲線である。これより粒径の小さいところでは、その影響はかなり大きいが、粒径が大きくなれば、あまり影響を及ぼさないことがわかる。Pedroli の実験砂は $\sqrt{gk_s d^3}/U$ が 540 ～ 470 と大きい値なので相対粗度の影響はほとんどみられないが、石原らの場合には $\sqrt{gk_s d^3}/U$ が 10.5 ～ 188 の範囲であるために相対粗度はばらつきを与える大きな要素となっている。

図-4 は、5 個の Ψ (0.5, 0.2, 0.1, 0.05, 0.02) の各について $\sqrt{gk_s d^3}/U$ を 10 ～ 5,000 と変化させて、式(10)で計算した曲線である。なお、 k_s は式(12)で計算し、勾配 I をパラメーターとしている。図から明らかのように、粒径が大きい程、また勾配の緩やかな程、流砂量は大きくなっている。前述した石原らの実験結果を理論的に裏付けている。さらに、粒径の大きい範囲では勾配の影響はほとんどなくなり、粒径の影響も顕著ではなく、従って、その範囲では、流砂量の強度率 $= q_B/U_* k_d$ と掃流力の無次元表示 Ψ とは一義の関係にあり、 Ψ を与えれば $q_B/U_* k_d$ を求めることはできる。

あとがき

滑面水路を群をはして移動する砂礫がある場合について簡単なモデルを設け、掃流層における流速分布を式(3)のように仮定し、移動粒子密度 P の式(9)、流砂量の式(10)を導き、実験結果と比較してかなりの一致がみられた。さらに、粒径、勾配、動摩擦係数、相対粗度が流砂量に及ぼす影響を検討して実験結果を理論的に裏付けることを試めた。なお、流速分布式(3)の妥当性、移動砂礫相互の干渉、流砂の存在による相対粗度の変化などに問題が残されており、今後、これらの問題を逐次研究していくつもりである。

最後に、本研究に協力してくれた千葉県庁土木部の栗林邦夫氏に感謝の意を表します。

参考文献

- 1) 石原・岩垣・末石：On the effect bed-load movement in thin flow, Proc. 3rd Japan National Congress for Applied Mechanics 1953, 265 ～ 269 (1954)
- 2) 嶋・早川：掃流砂の運動機構と流砂量、第 10 回水理講演会講演集(昭 41. 2)
- 3) Pedroli : 滑面固水路の土砂輸送、スイス連邦水経済局報ーベルン 1963 K-1 の 1-10 Vol. 50 (1965) 土木学会誌 11 文献抄録
- 4) 早田：流砂量に関する実験的研究、九州大学学士卒業論文(昭 42. 3)
- 5) 横・平野：滑面水路における砂礫の移動速度について、第 23 回年次学術講演会講演概要(昭 43)

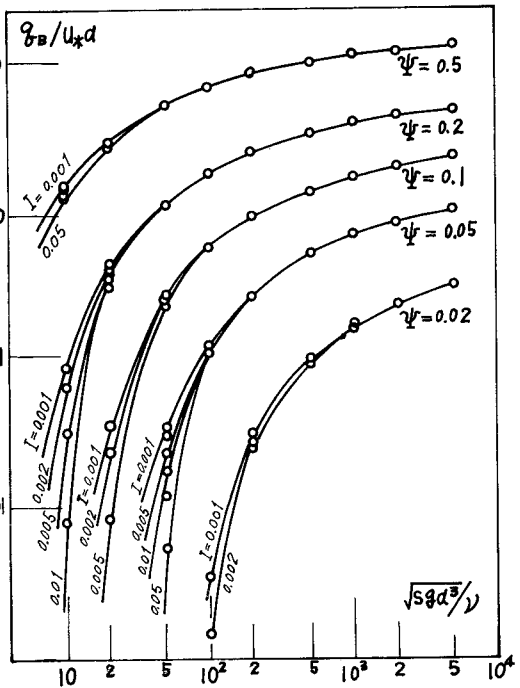


図-4 粒径と勾配の影響

範囲では勾配の影響はほとんどなくなり、粒径の影響も顕著ではなく、従って、その範囲では、流砂量の強度率 $= q_B/U_* k_d$ と掃流力の無次元表示 Ψ とは一義の関係にあり、 Ψ を与えれば $q_B/U_* k_d$ を求めることはできる。